

名古屋大学工学部 正員 足立 昭平
同 学生員 ○西城 淑司

1. まえがき

防波堤で遮蔽された港湾・泊地の波浪現象は、いわゆる sound shade の部分のみを扱えばよいか。だが、近年、港湾の技术利用が進んでくると、防波堤より奥側部分の海象を知ることが重要になつてくる。さらに、泊地内においても、重ね合せにより波の波高分布を求めることが一般的なやり方である。その場合にも、やはり、半無限防波堤を仮定し、その前面水域の波の運動が問題となるが従来の回折図等ではその領域での波高の分布は求められていないように思われる。⁽¹⁾ 一般に、防波堤先端の海象を除いては、波の反射のみで議論できるが、その先端附近では波の回折波（散乱波）を加めて複雑な波高分布を有しているものと思われる。そこで、筆者らはこの海域について Sommerfeld の解を数值計算した結果を述べる。

2. Sommerfeld の解

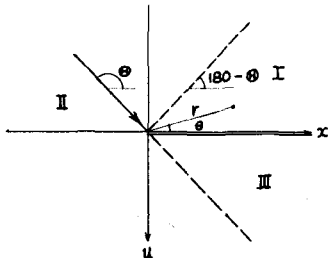


図-1 座標系

図-1 のように座標軸をとり、 θ を波の入射角とする。時間因子と共に書く項を落し速度ポテンシャル中 $\phi(x, y)$ は次の Helmholtz の方程式を満す。

$$\Delta(x, y)\phi + k^2\phi = 0 \quad (1)$$

ここで、 $k = 2\pi/L$ で L は波長である。半無限防波堤に沿う流速は零そして、無限遠で散乱波は消失する、という 2 つの境界条件で (1) を解く⁽²⁾。

$$\phi = e^{ikr\cos(\theta-\Theta)} \frac{1}{\pi} e^{\pm i\pi} \int_{-\infty}^r e^{-is^2} ds + e^{ikr\cos(\theta+\Theta)} \frac{1}{\pi} e^{\pm i\pi} \int_{-\infty}^s e^{-is^2} ds \quad (2)$$

$$\text{ここで, } r = \sqrt{2kr} \cos\left(\frac{\theta-\Theta}{2}\right), s = \sqrt{2kr} \cos\left(\frac{\theta+\Theta}{2}\right) \quad (3)$$

これが回折に対する Sommerfeld の解であり、第 1 項が入射波とその散乱波を、第 2 項が反射波とその散乱波を表す。さらに、回折係数 K （すなわち、入射波に対する合成波（回折波）の波高比）は

$$K = |\text{回折波の } \phi(x, y)| / |\text{入射波の } \phi(x, y)| = |\phi(x, y)| \quad (4)$$

であるから、 $\phi(x, y)$ の絶対値が回折係数 K を表すことになる。

3. 数値計算例

図-1 で示したように、領域を I (入射波反射波領域)、II (入射波回折波領域)、III (回折波領域) に分けて計算を行なう。計算方法は奥山、森平の方法⁽¹⁾に従いその結果のみ記す。

$$\begin{aligned} \text{I 領域: } K &= \{ (1-A(r))\cos\alpha + (1-A(s))\cos\beta + B(r)\sin\alpha + B(s)\sin\beta \}^2 \\ &\quad + \{ (1-A(r))\sin\alpha + (1-A(s))\sin\beta - B(r)\cos\alpha - B(s)\cos\beta \}^2 \end{aligned} \quad (5)$$

$$\begin{aligned} \text{II 領域: } K &= \{ (1-A(r))\cos\alpha + A(s)\cos\beta + B(r)\sin\alpha - B(s)\sin\beta \}^2 \\ &\quad + \{ (1-A(r))\sin\alpha + A(s)\sin\beta - B(r)\cos\alpha + B(s)\cos\beta \}^2 \end{aligned} \quad (6)$$

$$\text{III 領域: } K = \{ (A(r)\cos\alpha - B(r)\sin\alpha + A(s)\cos\beta - B(s)\sin\beta)^2 + [A(r)\sin\alpha + B(r)\cos\alpha + A(s)\sin\beta + B(s)\cos\beta]^2 \}^{1/2} \quad (7)$$

$$\text{ここに } \alpha = kr \cos(\theta - \Theta), \beta = kr \cos(\theta + \Theta) \quad (8)$$

$$A(\zeta) = \frac{1}{2} - \frac{1}{2\pi} \left\{ \int_0^{\zeta} \cos \zeta' d\zeta' + \int_0^{\zeta} \sin \zeta' d\zeta' \right\}, B(\zeta) = \frac{1}{2\pi} \left\{ \int_0^{\zeta} \sin \zeta' d\zeta' - \int_0^{\zeta} \cos \zeta' d\zeta' \right\} \quad (9)$$

一例として、波の入射角 $\Theta = 60^\circ$ の場合について θ を 15° 間隔で、 r を $0.05L$ ずつと計算して回折図を描いたものが図-2である。ここに、最大波高線と最小波高線の生ずる位置は、それぞれ、防波堤より、 $\sqrt{n}L/3$, $\sqrt{3}(2n+1)L/6$ ($n=1, 2, 3, \dots$) である。図-3にy軸に沿う波高分布を示す。

4. おわりに

現実の港湾構造物は単純な形状ではない。しかし、波を微小振幅波に仮定するならば重ね合せが適用できるので、種々の回折図や幾何学的方程図によって波高分布を求めることができるはずである。現在、図-4に示すような四隅の隅角部について、図-2のように回折図を用いて波高分布を求めることが検討中である。

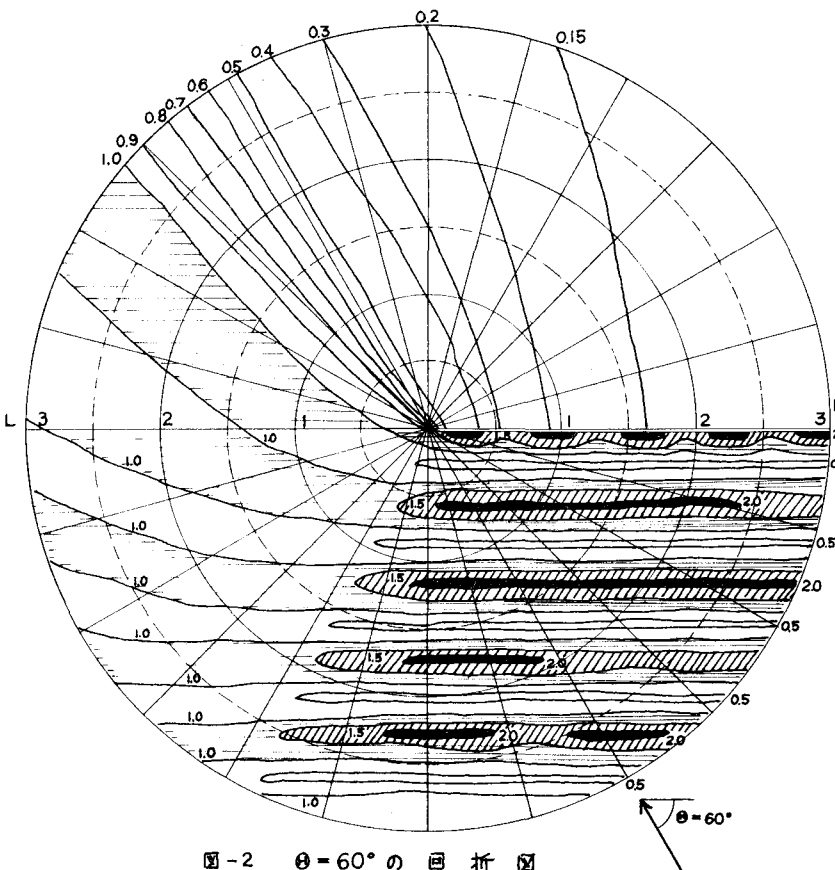


図-2 $\Theta = 60^\circ$ の回折図

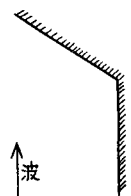


図-4 隅角部

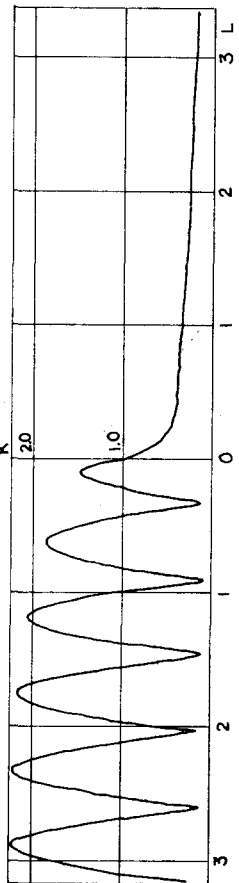


図-3 y軸に沿う波高分布

(1)森平・奥山：海の波の回折計算法と回折図 港湾技術資料 NO.21

(2)石原・本間：応用水理学中II p.529

(3)一般には、それぞれ $nL/2\sin\Theta$, $(2n+1)L/4\sin\Theta$ で表わされる。